

О ВОЗМОЖНОСТИ ИСПОЛЬЗОВАНИЯ СВЕРХПРОВОДЯЩИХ РЕЗОНАТОРОВ ДЛЯ РЕКОНСТРУКЦИИ ПРОТОННОГО ИНЖЕКТОРА КОМПЛЕКСА «НУКЛОТРОН»

*К. А. Алиев^a, С. М. Полозов^{a,1}, А. В. Самошин^a, С. Е. Топорков^a,
Т. В. Кулевой^{a,6}, Г. Н. Кропачев⁶, А. В. Бутенко⁶, В. А. Мончинский⁶,
А. О. Сидорин⁶, Г. В. Трубников⁶*

^a Национальный исследовательский ядерный университет «МИФИ», Москва

⁶ Государственный научный центр «Институт теоретической и экспериментальной физики»
НИЦ «Курчатовский институт», Москва

⁶ Объединенный институт ядерных исследований, Дубна

Рассматривается возможность замены ускорителя с трубками дрейфа ЛУ-20, инжектора ускорительного комплекса «Нуклotron», на сверхпроводящий ускоритель протонов с выходной энергией до 50 МэВ, состоящий из последовательности независимо фазируемых резонаторов и соленоидов. В статье рассмотрены результаты выбора общей структуры ускорителя и моделирования динамики пучка.

The possibility of replacement of LU-20 drift tube linac by a new superconducting linac of 50 MeV energy is discussed. Such a linac would consist of a number of independently phased cavities and focusing solenoids. Results of linac general layout development and beam dynamics simulation are presented.

PACS: 29.17.w; 29.27.Bd

ВВЕДЕНИЕ

В статье рассматривается возможность замены ускорителя с трубками дрейфа ЛУ-20 на сверхпроводящий ускоритель протонов с выходной энергией до 50 МэВ. Ускоритель ЛУ-20 работает в качестве инжектора в синхрофазотроне и нуклotronе вот уже более 40 лет и требует модернизации или замены на новый сверхпроводящий линейный ускоритель. Замена позволит значительно повысить энергию и качество инжектируемого в основной ускоритель пучка. При реконструкции необходимо также учитывать, что создание нового линейного ускорителя потребует реконструкции канала инъекции пучка в нуклotronе, который в настоящее время позволяет транспортировать пучки ионов с энергией не более 25 МэВ.

¹E-mail: smpolozov@mephi.ru

Сверхпроводящие ускорители в настоящее время строятся по общему принципу: они состоят из последовательности независимо фазируемых резонаторов, используемых для ускорения пучков, и соленоидов или квадрупольей для их фокусировки. Данный вид ускорителей хорошо отработан и используется во многих ускорительных центрах мира. В таком сверхпроводящем ускорителе имеется множество параметров, при изменении которых появляется возможность управления характеристиками выходного пучка и ускорение ионов другого типа. Линейный ускоритель, построенный на основе последовательности независимо фазируемых резонаторов, лишен нескольких недостатков: нет поворотных магнитов и, соответственно, не требуется расходовать энергию на их питание, поскольку регулировка энергии может быть обеспечена как грубо (при выключении одного или нескольких резонаторов), так и плавно, подстройкой фаз ВЧ- поля в резонаторах; ускоритель без особых сложностей может работать в непрерывном режиме, возможен контроль за размером огибающей пучка и т. д. С экономической точки зрения выгодно, чтобы ускоряющие резонаторы имели одинаковую геометрию, в противном случае резко возрастает стоимость ускорителя. Это означает, что фазовая скорость волны будет постоянной в каждом резонаторе и в такой ускоряющей системе всегда будет нарушаться принцип синхронизма, когда в любой момент времени скорость синхронной частицы равна фазовой скорости ускоряющей волны, т. е. будет возникать скольжение частиц относительно ускоряющей волны [1, 2]. Величина скольжения не должна превышать некоторый допустимый предел, так как в случае большого скольжения резко снижается темп ускорения и ухудшается продольная и поперечная устойчивость пучка, падает коэффициент прохождения. При большом числе резонаторов целесообразно разделить их на несколько групп, каждая из которых состоит из идентичных резонаторов.

1. ДИНАМИКА ПРОТОННОГО ПУЧКА В СВЕРХПРОВОДЯЩЕМ УСКОРИТЕЛЕ

Во всех проектах по созданию сверхпроводящих ускорителей предполагается, что фокусировку пучка можно реализовать, разместив фокусирующие линзы (соленоиды или квадруполя) в свободные промежутки между резонаторами. Рассмотрим вариант ускоряющей системы, состоящей из периодической последовательности многозazorных резонаторов и магнитных соленоидов [1]. Исследование динамики пучка проводилось с помощью аналитических методов [1, 2] и пакета программ численного моделирования BEAMDULAC-SCL [3, 4], разработанных в лаборатории «ДИНУС» кафедры «Электрофизические установки» НИЯУ МИФИ. Аналитический анализ продольной и поперечной динамики модулированного пучка в случае магнитной периодической фокусировки удобно проводить, используя матричный метод [5] и усреднение по быстрым осцилляциям. В матричном методе амплитуды электрического поля в резонаторах и магнитного поля в соленоидах представляются как кусочно-постоянные функции. С помощью матриц преобразования для отдельных участков можно найти матрицу периода структуры [2]. Зная матрицу периода для продольного и поперечного движений, несложно найти параметры Флоке μ_z и μ_r и условия устойчивости продольных и поперечных колебаний частиц. Параметры ускорителя необходимо выбрать так, чтобы одновременно достигалась продольная и поперечная устойчивость пучка, т. е. когда μ_z и μ_r принимают действительные значения. Были выбраны параметры ускорителя, энергия пучка протонов в котором меняется от 1,6 МэВ (0,058 с) до 50 МэВ (0,314 с). Выбрав тип ускоряющих элементов и допустимую величину скольжения до 20 %, определили, что ускоритель не-

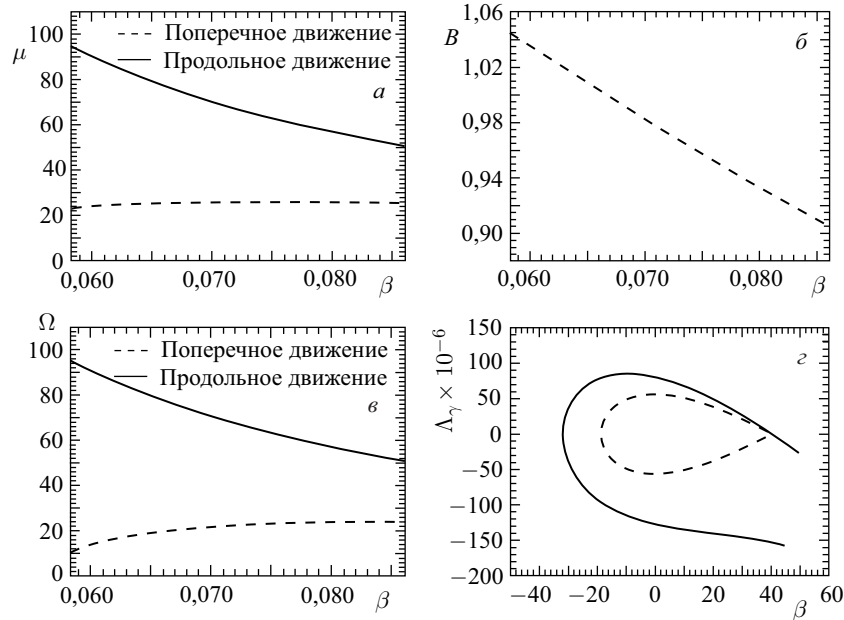


Рис. 1. Изменение параметров Флоке для продольного движения μ_z и для поперечного движения μ_r (а); величина фокусирующего магнитного поля в зависимости от приведенной скорости при постоянной величине огибающей пучка (б); частоты продольных и поперечных колебаний (в); сепараторика для $\varphi_c = -20^\circ$ и $\rho = 0$ в собственной системе квазиравновесной частицы (г)

Таблица 1. Параметры ускорителя

Параметр	Номер группы				
	1	2	3	4	5
β_g	0,072	0,105	0,15	0,217	0,314
W_{in} , МэВ (β_{in})	1,6 (0,058)	3,5 (0,086)	7,3 (0,124)	15 (0,177)	32 (0,255)
W_{out} , МэВ (β_{out})	3,5 (0,086)	7,3 (0,124)	15 (0,177)	32 (0,255)	50 (0,314)
Скольжение T , %	20	20	20	20	20
% захвата частиц	99,4	99,0	100	97,7	95,2
f , МГц	162	162	162	162	324
λ , м	1,85	1,85	1,85	1,85	0,925
N_{gap}	4	4	4	4	4
φ_c , $^\circ$	-20	-20	-20	-23	-20
L_{res} , м	0,265	0,389	0,555	0,8	0,584
E , МВ/м	2,26	3,08	4,14	6,5	10,45
U_{res} , МВ	0,6	1,2	2,3	5,2	6,1
B_{sol} , Тл	1,0	1,4	1,4	1,9	3,2
L_{sol} , м	0,2	0,2	0,2	0,2	0,2
$L_{gap,M}$	0,1	0,1	0,1	0,1	0,1
$L_{per,M}$	0,665	0,789	0,955	1,2	0,984
N_{per}	4	4	4	4	4
L_{group} , м	2,66	3,16	3,82	4,8	3,396

обходится разбить на пять групп резонаторов с геометрической скоростью $\beta_G = 0,072; 0,105; 0,15; 0,217$ и $0,314$. Анализ условий устойчивости продольных и поперечных колебаний показал, что, например, для первой группы резонаторов устойчивость достигается при напряженности поля $E = 2,26$ МВ/м, фазе влета $\varphi_c = -20^\circ$, длине резонатора $L_{\text{res}} = 0,265$ м, величине магнитного поля соленоида $B = 1$ Тл и длине соленоида $L_{\text{sol}} = 0,2$ м. На рис. 1, *a* показаны зависимости величин параметров Флоке для продольного и поперечного движений. На рис. 1, *б* приведен график зависимости $B_{\min}(\beta)$, которую легко найти из условия устойчивости в предположении [1], что максимальный размер огибающей пучка X_m задан на всей длине ускорителя (выбрано $X_m = 3$ мм).

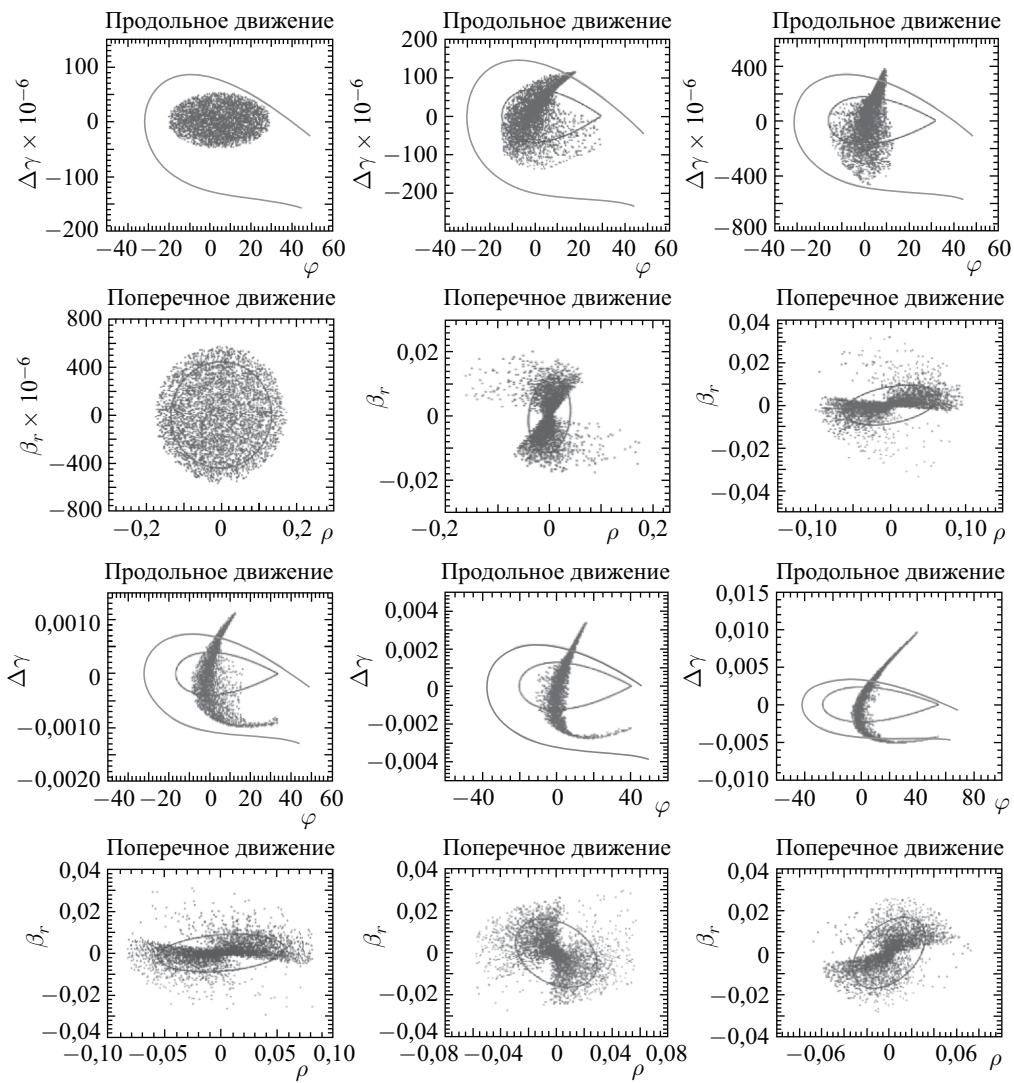


Рис. 2. Поперечный и продольный эмиттансы пучка на входе в ускоритель и после 1–5-й групп ускоряющих резонаторов

Видно, что в данном случае достаточно использовать соленоиды с величиной магнитного поля, не превосходящей 1 Тл.

В основе матричного подхода лежат некоторые упрощения: предположения об одноволновом характере взаимодействия частиц с высокочастотным полем и о малости амплитуд фазовых и поперечных колебаний частиц, т. е. предположение о линейном характере движения частиц и о малости прироста скорости частиц на резонатор. С помощью метода усреднения по быстрым осцилляциям можно уточнить условия устойчивости движения. Усреднение позволяет получить трехмерное уравнение движения в форме уравнения Гамильтона, в которое будет входить эффективная потенциальная функция; ее анализ позволяет найти условия поперечной фокусировки и выявить связь между продольным и поперечным движением, рассчитать аксептанс канала ускорителя. На рис. 1, в представлены графики зависимостей частот продольных и поперечных колебаний Ω_z и Ω_r , которые соответствуют параметрам Флоке, а на рис. 1, г — границы области устойчивости продольных колебаний с учетом и без учета затухания.

Аналитический анализ устойчивости динамики пучка протонов для всех пяти групп резонаторов, на которые был разделен ускоритель, позволил выбрать параметры ускоряющих и фокусирующих элементов, при которых обеспечивается устойчивое движение пучка. Все выбранные параметры приведены в табл. 1. Наиболее точный результат дает моделирование динамики пучка в полигармоническом поле. На рис. 2 представлены результаты моделирования после каждой из групп резонаторов. Из рисунка видно, что пучок находится в сепаратрисе, а эмиттанс, ограничивающий 95 % частиц, не превышает радиус 3 мм. Коэффициент токопрохождения для всех групп близок к 100 %.

2. СВЕРХПРОВОДЯЩИЕ УСКОРЯЮЩИЕ РЕЗОНАТОРЫ

Для каждого диапазона частот и фазовых скоростей волны в настоящее время разработаны типы сверхпроводящих резонаторов, имеющих оптимальные характеристики (эффективное шунтовое сопротивление, минимальные коэффициенты перенапряжения по магнитному и электрическому полю и т. п.). В ускорителе, который предлагается создать в качестве замены ЛУ-200, в трех первых группах возможно использование четвертьволновых коаксиальных резонаторов (рис. 3, а), в четвертом и пятом — СН-резонаторов (рис. 3, б). Например, четвертьволновый резонатор на геометрическую скорость $\beta_g = 0,25$ будет иметь следующие параметры: высота резонатора $h = 266$ мм, длина центрального проводника $l = 184$ мм, диаметр центрального проводника $R_i = 30$ мм, диаметр внешнего проводника $R_0 = 100$ мм, расстояние между ускоряющими зазорами $d = 118$ мм, длина ускоряющего зазора $g = 39$ мм, приведенное пикивое магнитное поле $B_p/E_a = 10$ мТл/(МВ/м), коэффициент перенапряжения $E_p/E_a = 6$, фактор пролетного времени $T = 0,95$, эффективное шунтовое сопротивление $R_a/Q = 608$ Ом.

Параметры СН-резонаторов и их электродинамические характеристики представлены в табл. 2. Каждый из СН-резонаторов содержит пять периодов, длина которых постоянна и соответствует виду колебаний π . Ускоряющий зазор фиксирован и равен половине длины периода. Для получения равномерного распределения ускоряющего поля и оптимизации эффективного шунтового сопротивления R/Q конструкция содержит пилоны, соединяющие обечайку с крепежными стержнями трубок дрейфа. Центр каждого пи-

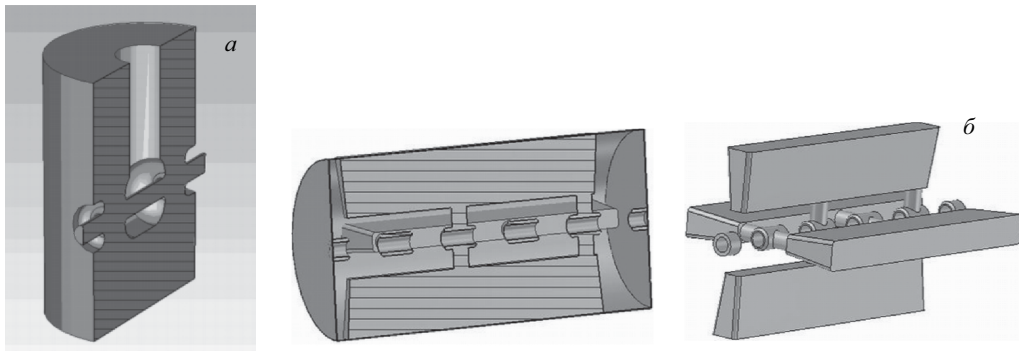


Рис. 3. Четвертьволновый коаксиальный резонатор (*а*) и СН-резонатор: сечение и вид трубок дрейфа и пилонов (*б*)

Таблица 2. Размеры и электродинамические характеристики СН-резонаторов

Геометрическая скорость β_g	0,150	0,217	0,314
Длина периода $D(\beta\lambda/2)$, мм	138,79	200,79	290,54
Длина резонатора, мм	694	1004	1453
Радиус резонатора R , мм	312	349	372
Диаметр апертуры a , мм	30	40	40
Ширина пилона, мм	80	80	80
Длина пилона, мм	530	780	1180
$E_{\max}/E_{\text{уск}}$	3,6	3,4	3,6
$B_{\max}/E_{\text{уск}}$, мТл/(МВ/м)	6,7	7,9	4,4
R/Q , Ом	882	873	635
Равномерность распределения поля E_{\min}/E_{\max} , %	95	98	97

лона смешен в продольном направлении в сторону торцевой стенки (см. рис. 3, *б*). Такое расположение позволяет получить равномерность распределения амплитуд ускоряющего поля среди зазоров $E_{\min}/E_{\max} > 95\%$. Для снижения коэффициентов перенапряжения по электрическому и магнитному полям используются скругления трубок дрейфа и ребер пилонов.

ЗАКЛЮЧЕНИЕ

В результате проведения численного моделирования была выбрана ускоряющая структура ускорителя протонов, в котором энергия меняется от 1,6 МэВ (0,058 с) до 50 МэВ (0,314 с), с оптимальными параметрами участков ускоряюще-фокусирующей структуры и длиной 17,85 м (без учета дополнительной аппаратуры), при которых обеспечивается устойчивое движение и максимальный захват частиц. Коэффициент токопрохождения в этом случае близок к 100 %. Рассчитаны электродинамические характеристики сверхпроводящих резонаторов, пригодных для использования в предлагаемом ускорителе.

СПИСОК ЛИТЕРАТУРЫ

1. *Масунов Э.С., Самошин А.В.* Фокусировка пучка в линейном ионном ускорителе, состоящем из периодической последовательности независимо фазируемых сверхпроводящих резонаторов // ЖТФ. 2010. Т. 80, вып. 7. С. 115–121.
2. *Масунов Э.С., Самошин А.В.* Исследование динамики пучка в линейном сверхпроводящем ускорителе тяжелых ионов // АЭ. 2010. Т. 108, вып. 2. С. 109–118.
3. *Masunov E. S., Plastun A. S., Samoshin A. V.* Ion Beam Dynamics in Superconducting Drift Tube Linac // Problems of At. Science and Technology. Nucl. Phys. Investigations Series. 2010. No. 53. P. 114–117.
4. *Samoshin A. V., Polozov S. M.* Development of Proton Therapy at the SC Linac with BEAMDULAC-SCL Code // Proc. of LINAC 2012. 2012. P. 633–635.
5. *Капчинский И. М.* Теория линейных резонансных ускорителей. М.: Энергоиздат, 1982.